

材料在高速变形时的动力松弛性质 和一维杆中的塑性波*

范夏藻

(中国科学院力学研究所)

提 要

材料在高速变形时, 它的整个变形过程能不能只用一个状态方程来描写是值得讨论的. 本文认为, 状态方程 $E \frac{\partial \epsilon}{\partial t} = \frac{\partial \sigma}{\partial t} + g(\sigma, \epsilon)$ 只在 $x-t$ Lagrange 平面的部分区域内才反映高速变形过程的力学规律.

本文讨论了函数 $g(\sigma, \epsilon)$ 在高速变形时的性质, 并建议采用如下的形式:

$$g(\sigma, \epsilon) = A[1 - e^{-B(1-\epsilon)(\sigma-f(\epsilon))}].$$

本文认为横向惯性的存在是状态方程中应力提高项出现的原因或原因之一.

本文用应变率相关理论解释了等应变区的存在.

在每秒几十米的撞击速度范围内, 撞击端面间的摩擦力对塑性波的形成和传播具有不可忽视的影响. 但在速度高到 100 米/秒以上时, 这种影响又可能予以忽略.

以上五点看法是结合了铝钢短试件和 2S 铝杆的高速变形分析得到的.

一、引 言

塑性波在细长杆中传播的理论首先由 von Kármán^[1] 给出, 它成功地预言了等应变区的存在以及其数值和撞击速度 V_0 间的关系. 这个理论假定了状态方程与应变率无关, 其缺点是不能解释应力提高的现象^[2].

Malvern^[3,4] 在状态方程中考虑了应变率因素, 引进了松弛函数 $g(\sigma, \epsilon)$ 并给出了一维杆中塑性波在 $x-t$ 平面上传播的数值计算方法. 这个方法能定性地解释应力提高的现象, 缺点是不能解释等应变区的存在. 近年来 Tapley 和 Plass^[5] 在 Malvern 理论中考虑了横向惯性, 但这个修正也没得到合乎理想的改进.

从数学上看, 现有各种塑性波理论的不同点在于它们采用不同的状态方程, 但它们的共同点则在于都假定了整个变形过程可只用一个状态方程来描写. 截至目前为止, 还没有一种塑性波理论能较全面地解释各种实验事实.

从高速变形的物理机制来看, 可以把位错群体在工程材料中的高速运动分成本质上不尽相同的三个过程: 位错群体在应力场中的加速与增殖, 位错在应力场中的高速运动——流变的迅速发生, 位错运动能的衰竭——变形过程的终止. 因此, 在用宏观连续介质力学来处理高速变形问题时, 能否只用一个状态方程来描写整个变形过程是值得讨论的.

* 1963年2月6日收到.

二、Malvern 理論及其边值問題

Malvern 认为,在高速变形时材料内部存在动力松弛过程,状态方程可以写成

$$E \frac{\partial \epsilon}{\partial t} = \frac{\partial \sigma}{\partial t} + g(\sigma, \epsilon) \quad (1)$$

的普遍形式. 他还认为,应力是由应变 ϵ 中弹性部分 ϵ' 引起的,所以式(1)又可以写成

$$E \frac{\partial \epsilon''}{\partial t} = g(\sigma, \epsilon), \quad (2)$$

ϵ'' 为 ϵ 中塑性应变部分, $g(\sigma, \epsilon)$ 为某一合理的松弛函数. Malvern 曾建議将它写成

$$g(\sigma, \epsilon) = a[e^{B(\sigma-f(\epsilon))} - 1] \quad (3)$$

或其一级近似式

$$g(\sigma, \epsilon) = a(\sigma - f(\epsilon)), \quad (4)$$

其中 $a = ab$, $f(\epsilon)$ 为静态应力应变关系.

由于位错的传播速度存在一极限值^[6,7],因此, $\frac{\partial \epsilon''}{\partial t}$ 不可能无限增加. 这样,在 $\sigma \rightarrow \infty$ 时, $g(\sigma, \epsilon)$ 也必然有一极限值. 这就指出了式(3)的不合理性,至少在变形速度极高时不能用式(3)来描写材料的变形过程.

我們建議將 $g(\sigma, \epsilon)$ 写成

$$g(\sigma, \epsilon) = A[1 - e^{-B(\sigma-f(\epsilon))}] \quad (5)$$

形式,其中 B 为小参数, B 和 A 的大小由材料的性质决定. 在 $B(\sigma - f(\epsilon))$ 为小量时,式(5)的一级近似式和式(4)同,此时 $a = AB$. 应当注意,材料的物理性质应该和材料的几何尺寸无关,因此, $g(\sigma, \epsilon)$ 中的 σ 应当是真实应力才合理. 在以工程应力为单位时,式(4)和(5)应分别修正为

$$g(\sigma, \epsilon) = a(1 - \epsilon)(\sigma - f(\epsilon)), \quad (6)$$

$$g(\sigma, \epsilon) = A[1 - e^{-B(1-\epsilon)(\sigma-f(\epsilon))}]. \quad (7)$$

下节中的实例将证明这样进行修正的正确性,尤其在大变形的情况下是这样. 这是我们对 Malvern 理論的第一点修正.

在研究 Malvern 理論所給出的数学解的普遍性质时,我们会看到它还有一个不可克服的困难.

設考虑一根半无限长杆,它的自由端面 $x = 0$ 处在受一突加压缩冲击后得到一冲击速度 V_0 并維持不变. 在 $x-t$ 平面上作三组特征綫(图 1),在取压应力和压应变为正时它們分別滿足微分方程:

$$dx = 0: \quad E d\epsilon - d\sigma = g(\sigma, \epsilon) dt, \quad (8)$$

$$dx = c_0 dt: \quad d\sigma + \rho c_0 dV = -g(\sigma, \epsilon) dt, \quad (9)$$

$$dx = -c_0 dt: \quad d\sigma - \rho c_0 dV = -g(\sigma, \epsilon) dt \quad (10)$$

和边界条件:

$$\text{在 } x = 0 \text{ 处: } V = V_0, \quad (11)$$

在特征綫 $x = c_0 t$ 上:

$$\left. \begin{aligned} \Delta\sigma &= \rho c_0 \Delta V \text{ 或 } \sigma = \rho c_0 V, \\ \Delta V &= c_0 \Delta\epsilon \text{ 或 } \epsilon = V/c_0. \end{aligned} \right\} \quad (12)$$

由式(11)和(12)可得端面在 $t = 0$ 时的应力和应变值:

$$\sigma_0 = \rho c_0 V_0, \quad \epsilon_0 = V_0/c_0. \quad (13)$$

对图(1)中的(1.0)和(0.1)应用式(10)的差分方程, 并由 $\sigma_{1,0} = \rho c_0 V_{1,0}$ 和 $\rho c_0 V_{0,1} = \sigma_0$, 可得

$$\sigma_{0,1} = \sigma_0 - g_{1,0} \Delta t, \quad (14)$$

很容易证明:

$$\left. \begin{aligned} \sigma_{0,2} &= \sigma_0 - (g_{1,1} + g_{2,0}) \Delta t, \\ \sigma_{0,3} &= \sigma_0 - (g_{1,2} + g_{2,1} + g_{3,0}) \Delta t, \\ &\dots\dots\dots \\ \sigma_{0,n} &= \sigma_0 - (g_{1,n-1} + g_{2,n-2} + \dots + g_{n,0}) \Delta t. \end{aligned} \right\} \quad (15)$$

由式(14)有 $\sigma_{0,1} < \sigma_0$. 其次, 由于 $g(\sigma, \epsilon)$ 在整个平面上是 x 和 t 的连续函数, 并且在原点附近是一个大数 (将图 7 和图 8 中在原点附近的 ϵ 值和 σ 值代入 $g(\sigma, \epsilon)$ 后即知), 因此, 在小量 Δt 确定了以后, 总可以找到一个正整数 N , 使得在 $n \leq N$ 时有

$$\sum_{(1, n-1)}^{(n, 0)} g_{p, q} > \dots > g_{1,2} + g_{2,1} + g_{3,0} > g_{1,1} + g_{2,0} > g_{1,0} > 0,$$

从而得到端面应力一开始就单调下降的普遍性质:

$$\sigma_0 > \sigma_{0,1} > \sigma_{0,2} > \dots > \sigma_{0,n}.$$

到目前为止, 还未发现有一个实验是支持上述普遍性质的. 在所有的应力测量中都发现, 端面在受击后应力立刻跃到某一数值并在一段时间内维持不变. 图 2 即为一例^[8].

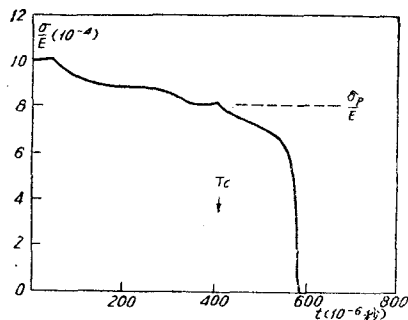


图 2 50.8 厘米长退火铝杆在受击端面处的 $\sigma-t$ 曲线 ($V_0 = 20.3$ 米/秒, T_c 为卸载波到达端面的时间)

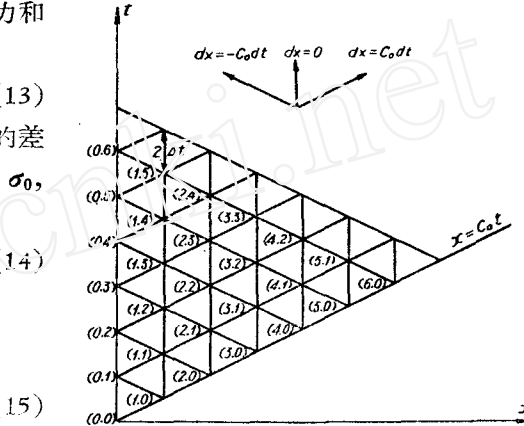


图 1 $x-t$ 平面上的特征线网格图

在 Malvern 理论中无疑曾作了两个基本假定: 1) 在包含原点在内以 $x = c_0 t$, 作边界的整个平面上, 应力处处连续, 否则差分方程将无意义. 2) 以 $x = c_0 t$ 作为确定边界条件的边界线, 这显然假定了状态方程可以描写整个平面上的变形过程的力学规律. 承认这两个假定必然导出上述普遍性质, 但它又和事实不符.

我们怀疑假定 2) 是否正确, 因而提出另外一个假定: 在 $x-t$ 平面上存在一个加载区, 紧靠着加载区有一个松弛区, 并且这个加载区若以 $x = c_0 t$ 为边界, 则在假定 1) 成立的情况下状态方程(1)就不能描写该区的力学规律. 假定 1) 是否成立要看具体情况来决定. 如果它成立, 则由于应力在 $x = c_0 t$ 上是连续变化到原点的, 根据激波条件(12), 就应有 $\sigma_0 = \rho c_0 V_0$ 和 $\epsilon = V_0/c_0$. 因此, 端面应力的测量值如果不等于 $\rho c_0 V_0$, 那就可以断定假定 1) 不成立. 下节将举出假定 1) 成立的一个实例, 第六节则将举出假定 1) 不成立的一个实例, 并

用这两个实例来证实我们的怀疑和支持我们提出的假定。

三、撞击在刚性靶上的圆柱形铬钢短试件的塑性变形分析

我们用应变率相关理论来验算 Lee 等^[9]分析过的试件。取

$$f(\epsilon) = \sigma_Y / (1 - \epsilon^D) \quad (16)$$

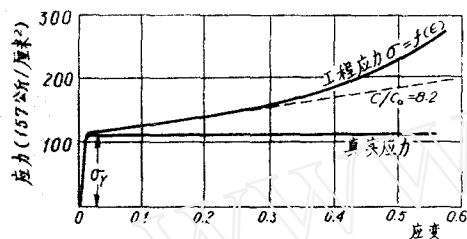


图3 铬钢的静态应力应变关系

($E = 2 \times 10^6$ 公斤/厘米², $c_0 = 4970$ 米/秒)

内撞击的分析方法得出应有应变台阶出现。但实际上应变台阶没有出现, Lee 等认为这是没有考虑横向惯性所致。

用应变率相关理论来计算,就不会发生出现应变台阶的问题。但是在这样高的撞击速度 ($V_0 = 279$ 米/秒) 的情况下,横向惯性究竟起什么作用,至今尚未见到有人研究过。我们希望至少能对这个问题给出定性的判断。

图4是直径 $D_0 = 0.889$ 厘米、长 $L_0 = 1.27$ 厘米的铬钢短试件以 279 米/秒的撞击速度在刚性靶上撞击后的残余变形。

我们假定: 1) Malvern 理论中的假定 1) 成立, 因此, $\sigma_0 = \rho c_0 V_0$, $\epsilon_0 = V_0 / c_0$ 。由于试件很短, 在自由端反射回来的卸载波没有达到端面以前, 可以认为端面应力 $\rho c_0 V_0$ 维持不变。2) 利用塑性波的简单波性质并不仅是 von Kármán 理论才能得到的结果(参看文献[4]图8), 因此假定 ϵ_0 也以波速 $c_{\epsilon_0} = \sqrt{\frac{1}{\rho} \frac{\partial f}{\partial \epsilon}} \Big|_{\epsilon=\epsilon_0}$ 向前传播。3) 假定 $x = 0$ 和 $x = c_{\epsilon_0} t$ 二直线所夹的区域落在松弛区内。这三个假定对铬钢短试件而言是否正确, 要看所得结果是否和实验事实符合来决定。Bell^[10] 对有限长杆卸载性质的实验研究已断言, 在撞击速度大于一定值后卸载波仅决定试件和刚性靶的接触时间, 而对主要变形区的残余变形的影响不大。我们也将利用这个结果。

根据上述三个假定, 可以列出方程组:

$$\left. \begin{aligned} \frac{\partial \sigma}{\partial x} &= -\rho \frac{\partial v}{\partial t}, \\ \frac{\partial v}{\partial x} &= -\frac{\partial \epsilon}{\partial t}, \\ E \frac{\partial \epsilon}{\partial t} &= \frac{\partial \sigma}{\partial t} + \alpha(1 - \epsilon) \left(\sigma - \frac{\sigma_Y}{1 - \epsilon} \right) \end{aligned} \right\} \quad (17)$$

和边界条件:

1) 在 $\epsilon < 0.3$ 时, 用线性硬化线来代替它也可得到很好的近似

在 $x = 0$ 处: $0 \leq t \leq t_{0D}$ 时 (t_{0D} 的定义参阅图 5),

$$V = V_0, \quad \sigma = \rho c_0 V_0;$$

在 $x = c_0 t$ 上: $\epsilon = \epsilon_0 = V_0/c_0$.

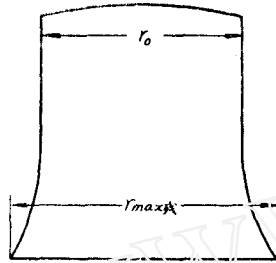


图 4 铝钢薄试件的残余变形

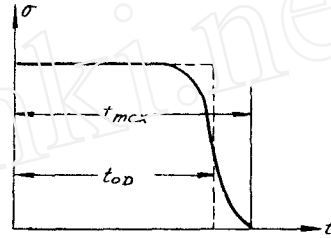


图 5 受击端面的 $\sigma-t$ 设想曲线

令 $r_{M残}$ 代表残余变形的最大半径, r_0 为原始半径. 由图 4 的实测结果得

$$\frac{r_0}{r_{M残}} = \frac{45.0}{58.0}.$$

假定体积不变, 则在最大半径处所对应的残余应变 $\epsilon_{M残} = [1 - r_0^2/r_{M残}^2] = 0.399$, 而 $\epsilon_0 = V_0/c_0 = 0.0562$. 由卸载的弹性性质, 在端面处出现过的最大应变 ϵ_M 是

$$\epsilon_M = 0.399 + 0.0562 = 0.455.$$

由于在 $x = 0$ 处 $\frac{\partial \sigma}{\partial t} = 0$, 故可将式(17)中的状态方程加以积分, 得到

$$\epsilon = \frac{V_0 - V_Y}{V_0} (1 - e^{-\alpha \frac{V_0}{c_0} t}) + \frac{V_0}{c_0} e^{-\alpha \frac{V_0}{c_0} t}, \quad (18)$$

其中 $V_Y/c_0 = \sigma_Y/E = 0.00994$. 将 ϵ_M , V_Y/c_0 和 V_0/c_0 值代入式(18), 即有

$$t_{0D} = 13.1/\alpha. \quad (19)$$

t_{0D} 为端面应变上升到 ϵ_M 值时所对应的时间. 作为一个近似, 可以认为在 $t \geq t_{0D}$ 时, 卸载过程迅速进行(图 5). α 为流常数 (flow constant). 下面可以看出, 定 $\alpha = 1.05 \times 10^6$ [秒] $^{-1}$ 是合理的, 因此, $t_{0D} = 12.5 \times 10^{-6}$ 秒.

t_{0D} 既定, 可将它的值分成 100 等分, 并在 $x-t$ 平面上作 $dx = 0$, $dx = c_0 dt$, $dx = -c_0 dt$ 三族特征线如图 6 所示. 我们的目的是求松弛区内所有网格结点上的 ϵ , σ/E 和 V/c_0 值以最后定出残余变形分布.

为了使计算一目了然, 希望松弛区的三角形 ODB 正好被特征线网格等分. 这只有在 c_0 与 c_0 的比值成整数时才可能, 否则松弛区的边界线就不落在网格结点上, 这时无论是网格结构或是计算步骤都要繁多. 幸而在本实例中 $c_0/c_0 = 8.2$ (图 3 中虚线), 因此, 取 $c_0/c_0 = 8$ 作为松弛区边界仍不失为很好的近似, 并在 $x = c_0 t/8$ 上就令 $\epsilon = 0.0562$.

计算结果表明, 在 $\triangle ODB$ 内等应变线都是直线, 换句话说都是简单波, 而且波速和 von Kármán 理论的波速 $\sqrt{\frac{1}{\rho} \frac{\partial f}{\partial \epsilon}}$ 一致 (图 7). 这又一次证实了塑性波的简单波性质并不只是 von Kármán 理论才能得到的结果.

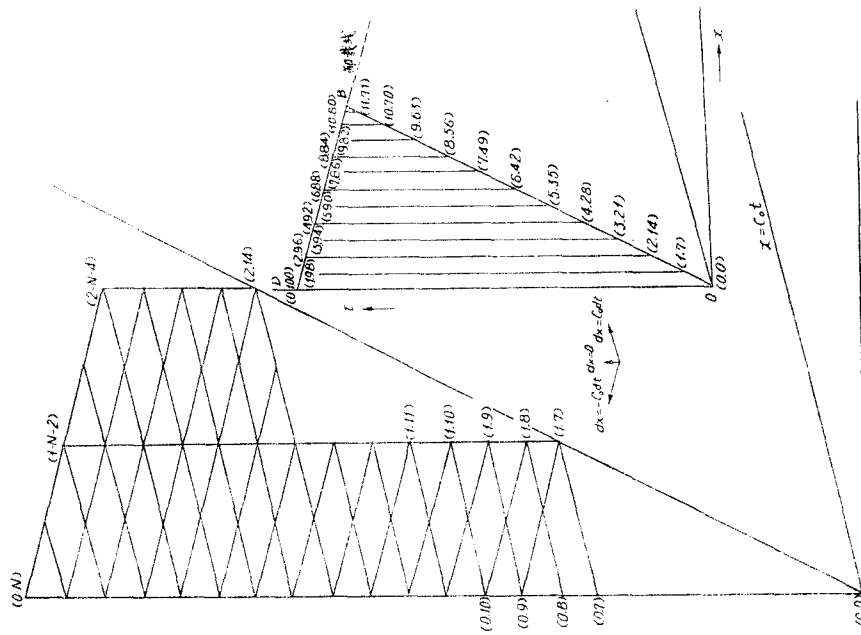


图 6 在 $x-t$ 平面上松驰区的特征线网略图

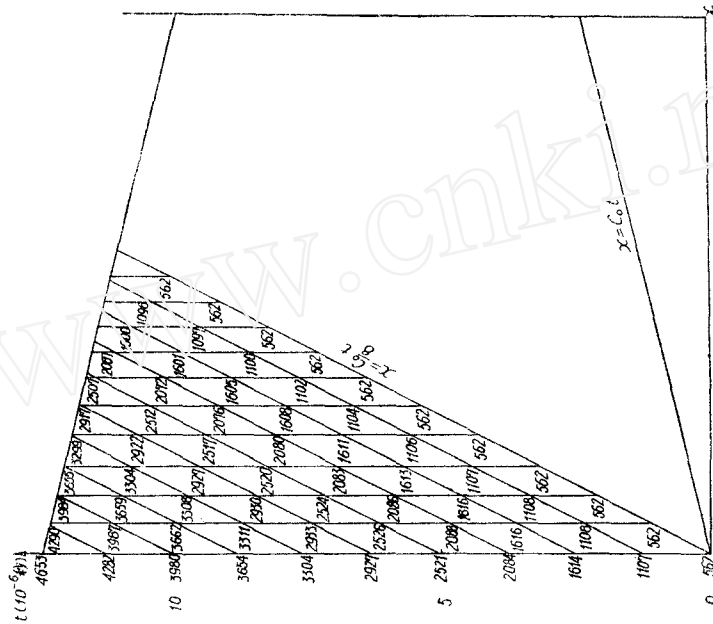


图 7 松驰区的应变图
(ϵ = 图中数值 $\times 10^{-4}$)

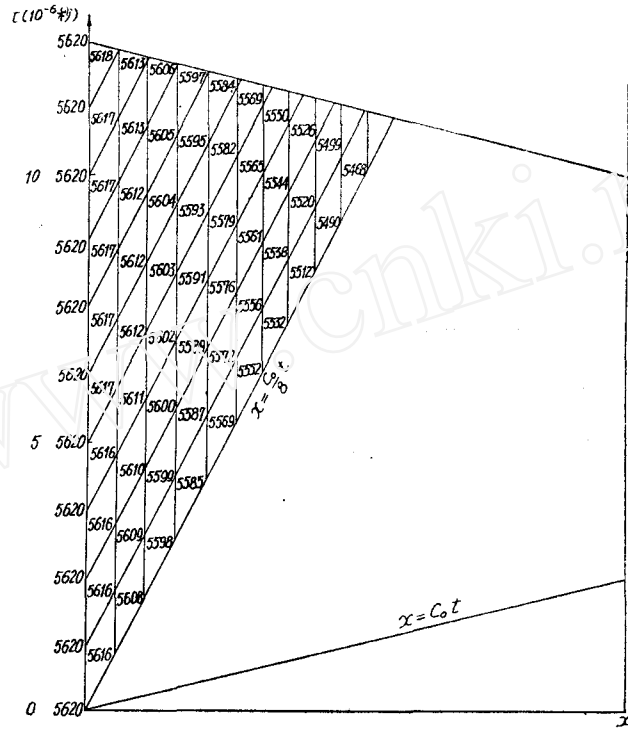


图 8 松弛区的应力图 ($\sigma/E =$ 图中数值 $\times 10^{-5}$)

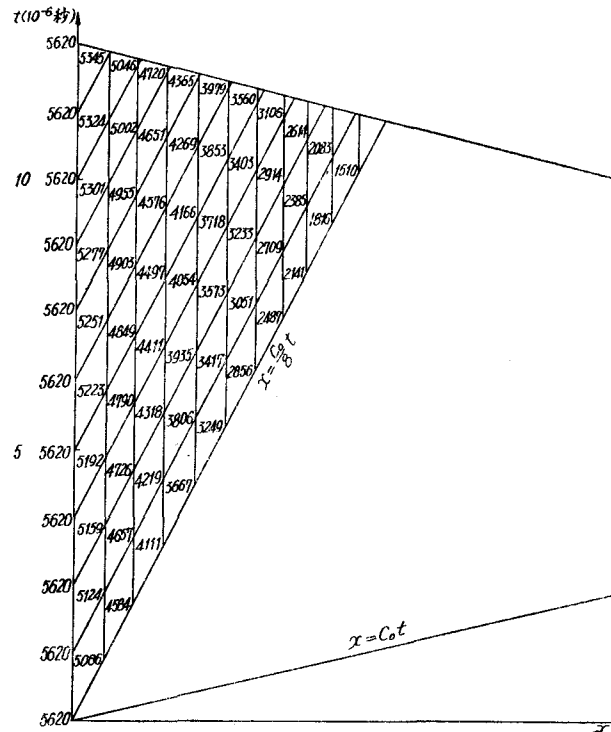
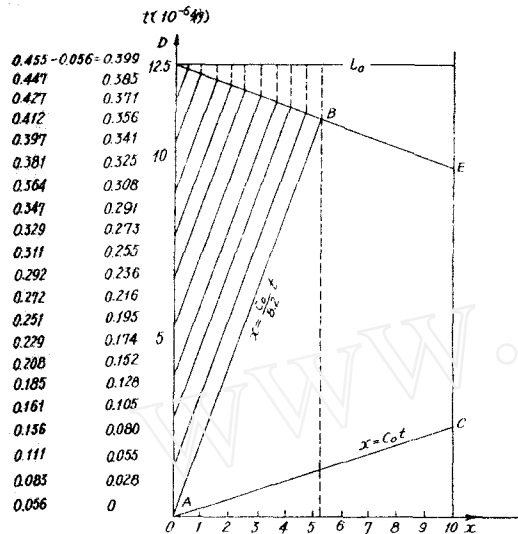
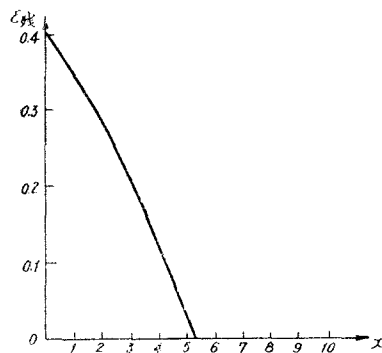
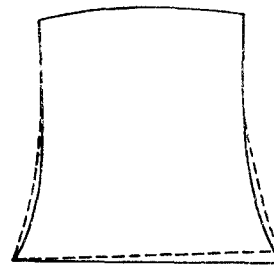


图 9 松弛区的质点速度图 ($V/c_0 =$ 图中数值 $\times 10^{-5}$)

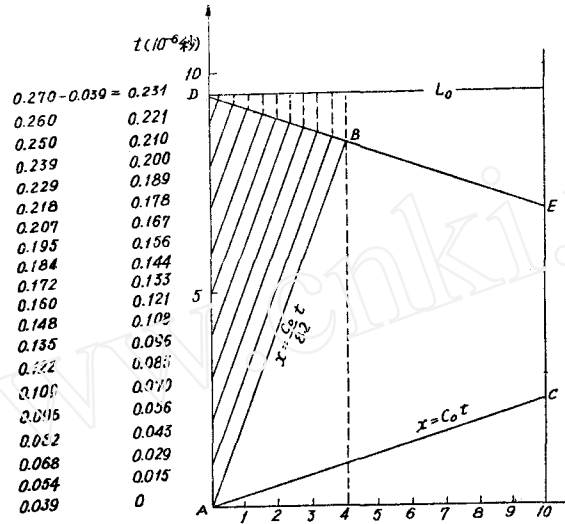
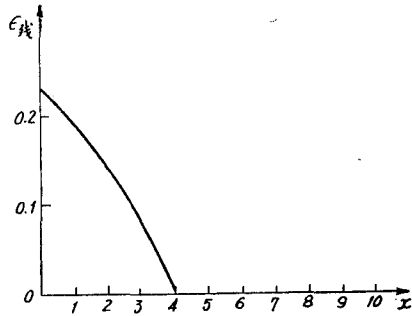
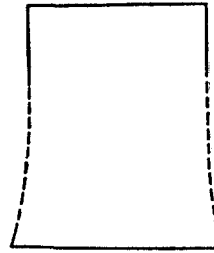
图 10 松弛区的等应变线图 ($V_0 = 279$ 米/秒)

残余应变的计算过程参看图 10 和 11。图 10 跟图 7 不同，它把 $\triangle ODB$ 的边界仍恢复为 $x = c_0 t / 8.2$ ，但保留塑性波具有简单波性质这个计算结果。这样作的目的，是为了纠正采用 $x = c_0 t / 8$ 作边界时数值计算所引起的误差。为了和残余变形作比较，必须考虑弹性卸载线 ED 对变形的影响。我们把所有等应变线和卸载线 ED 相遇时的应变值都减去 0.0562 作为卸载波对变形大小的近似影响。但在 $\triangle ODB$ 内则可以不考虑卸载对变形的影响，这是我们直接援用了 Bell^[10] 对卸载实验的研究结果。应该指出，在 $t < t_{0D}$ 时实际上端面应力已受到卸载波的微弱影响（见图 5 中的虚线部分），而我们把端面应力受到卸载波的影响看成在 $t \geq t_{0D}$ 时才发生，则只是一种理论上的近似。从计算结果跟实验事实很好符合这一点看来，我们以前所作的假定和近似是合理的。图 12 是残余变形图。假定体积不变，图 12 中的虚线部分就很容易由图 11 作换算而得到。图 13, 14, 15 是对应于撞击速度为 196 米/秒的计算结果，流常数 α 当然仍采用 1.05×10^6 [秒]⁻¹。图 15 表明，计算结果和实际残余变形完全一致。图 12 中的实线部分是试件的实际残余变形图，由于试件被撞歪了（这在文献[9]中已指出），所以计算结果和实验结果的符合情况没有图 15 那么好。 α 为理论中唯一可调节的参数，其合理性在于 α 既定后能给出不止一个正确结果。

图 11 残余应变分布图 ($V_0 = 279$ 米/秒)图 12 残余变形图 ($V_0 = 279$ 米/秒)
—— 实际形状 ---- 理论计算

可以看出，将表示松弛函数的式 (6) 换成式 (7) 或其二级近似式 $g(\sigma, \epsilon) = \alpha(1 - \epsilon)(\sigma - f(\epsilon)) - \alpha B(1 - \epsilon)^2(\sigma - f(\epsilon))^2$ 后，图 12 中的计算结果将和实验符合得更好。这样，图 10 中最左列的 21 个应变值在 $x = 0$ 的 t 轴上的坐标就不再保持等间距，而是由下向上逐渐由疏到密地排列了。从这些点子作等应变线与卸载线 DE 相交而得出

残余应变的计算过程参看图 10 和 11。图 10 跟图 7 不同，它把 $\triangle ODB$ 的边界仍恢复为 $x = c_0 t / 8.2$ ，但保留塑性波具有简单波性质这个计算结果。这样作的目的，是为了纠正采用 $x = c_0 t / 8$ 作边界时数值计算所引起的误差。为了和残余变形作比较，必须考虑弹性卸载线 ED 对变形的影响。我们把所有等应变线和卸载线 ED 相遇时的应变值都减去 0.0562 作为卸载波对变形大小的近似影响。但在 $\triangle ODB$ 内则可以不考虑卸载对变形的影响，这是我们直接援用了 Bell^[10] 对卸载实验的研究结果。应该指出，在 $t < t_{0D}$ 时实际上端面应力已受到卸载波的微弱影响（见图 5 中的虚线部分），而我们把端面应力受到卸载波的影响看成在 $t \geq t_{0D}$ 时才发生，则只是一种理论上的近似。从计算结果跟实验事实很好符合这一点看来，我们以前所作的假定和近似是合理的。图 12 是残余变形图。假定体积不变，图 12 中的虚线部分就很容易由图 11 作换算而得到。图 13, 14, 15 是对应于撞击速度为 196 米/秒的计算结果，流常数 α 当然仍采用 1.05×10^6 [秒]⁻¹。图 15 表明，计算结果和实际残余变形完全一致。图 12 中的实线部分是试件的实际残余变形图，由于试件被撞歪了（这在文献[9]中已指出），所以计算结果和实验结果的符合情况没有图 15 那么好。 α 为理论中唯一可调节的参数，其合理性在于 α 既定后能给出不止一个正确结果。

图 13 松弛区的等应变线图 ($V_0 = 196$ 米/秒)图 14 残余应变分布图 ($V_0 = 196$ 米/秒)图 15 残余变形图
—— 实际形状 ---- 理论计算

的残余变形分布,将会和实验结果符合得更好。反之,若取 Malvern 建议的式(3)或其二级近似式 $g(\sigma, \epsilon) = a(\sigma - f(\epsilon)) + ab(\sigma - f(\epsilon))^2$, 则图 10 最左列的 21 个点的排列就会下密而上疏,这样非但不能修正理论结果,反而会使结果更坏。这就是本文提出的状态方程合理的例证。即使不考虑非线性修正,所得结果也比 Lee 等^[9]用强间断内撞击理论得到的结果以及用 Taylor 近似理论得到的结果都好。尤其重要的是,这里不出现应变台阶的问题。最后,应该指出,函数 $g(\sigma, \epsilon)$ 中的修正因子 $(1 - \epsilon)$ 在大变形的实例计算中起着重要作用,否则就不能和实验符合。

四、加载区的力学规律和卸载波对残余变形的影响

关于加载区的变形过程,应当注意三件事情:

1. 在 $x = c_0 t$ 上应满足激波条件 (Hugoniot 方程), 因此有

$$\frac{\sigma(x, x/c_0)}{E} = \epsilon(x, x/c_0) = \frac{V(x, x/c_0)}{c_0}$$

2. 应力在 $\triangle ODB$ 内处处连续(包含原点)这一假定是可靠的,这就排斥了从原点发

出一束中心波的可能。

3. 假定加载区内等应变线也是直线。由材料的线性硬化($\epsilon < 0.3$)性质,等应变线是一组平行线如图 16 所示。

根据这三点再加上 $x = c_0 t$ 上已求出的边界值 $\epsilon, \sigma/E$ 和 V/c_0 , 加载区内各点的 $\epsilon, \sigma/E$ 和 V/c_0 值即可用数值解法求出。应该指出,上述分析是在加载区内等应变线也是直线这一假定下得到的。至于加载区的真实力学规律究竟怎样,仍然是一个值得研究的问题。

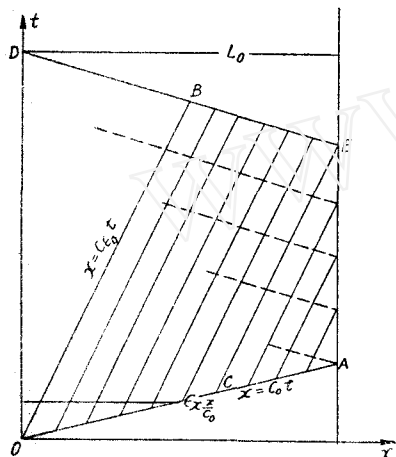


图 16 加载区的等应变线图与卸载特性

Bell 近年来对有限长试件撞击的卸载性质作了精细的实验研究,发现在自由端反射回来的卸载波逐步被迎面而来的塑性波吸收,以致不能一下子穿透一系列塑性波的波前而达到撞击端以对端面应力卸载,并且还发现,在杆的前半段里塑性波在不算短的时间内的传播情况有如在一根半无限杆中的传播情况一样。从图 16 可以看出,我们采用卸载波对残余变形影响不大这一假定,实际上是以 Bell 实验研究结果作为理论的出发点。图 16 中的虚线表示卸载波穿透塑性波的波前与被塑性波吸收的情况,直到波前 CE 在自由端反射后,端面应力才迅速下降。

五、横向惯性的作用

在撞击速度 $V = 279$ 米/秒这样大的情况下,横向惯性理应起着重要的作用。但我们的状态方程虽然没有变量 r, θ , 却能给出与实验如此符合的结果,这就不能不令人怀疑,横向惯性的作用是否已隐含在我们的状态方程中,即应力之所以提高是否就是由于有横向惯性的缘故。为了弄清这个问题,需要对横向惯性能作一近似估计。

设想有一半径为 r_0 的圆片材料,在其一端面上刻上一组等间距的同心圆而进行材料压缩试验。假设体积不变,可以发现:

1. 等间距同心圆仍为等间距同心圆;
2. 短圆柱体仍为短圆柱体,即平面仍为平面。

高速变形时虽然几何型有改变,上二结论不再成立,但仍可沿用它们来迅速对横向惯性能作一估计,这在量级上是不会改变的。

设在 t 时刻有 $r_1/r_2 = \beta$, 则由上述结论 1, 在 $t + dt$ 时刻有 $\frac{r_1 + V_{r_1} dt}{r_2 + V_{r_2} dt} = \beta$, 其中

$V_r = \frac{\partial r}{\partial t}$. 由此得

$$V_{r_1}/r_1 = V_{r_2}/r_2 = V_{r'_0}/r'_0, \quad (20)$$

其中 r'_0 与 $V_{r'_0}$ 为外缘半径及其在 r 方向的质点速度。

设薄片 dx 的横向惯性能为

$$R dx = \int_0^{r_0'} \frac{1}{2} (2\pi r) V_0^2 \rho (1 - \epsilon) dx dr. \quad (21)$$

利用体积不变性 $\frac{d}{dt} (\pi r_0'^2 (1 - \epsilon) dx) = 0$, 可得

$$\frac{V_0'}{r_0'} = \frac{1}{2(1 - \epsilon)} \frac{\partial \epsilon}{\partial t}. \quad (22)$$

由式(20)——(22)得

$$R = \frac{A_0^2 \rho}{16\pi} \left(\frac{1}{1 - \epsilon} \right)^2 \left(\frac{\partial \epsilon}{\partial t} \right)^2, \quad (23)$$

其中 A_0 为原始截面, 令薄片 dx 的纵向动能 $K dx = \rho A_0 dx V^2/2$, 则

$$\frac{R}{K} = \frac{A_0}{8\pi} \left(\frac{1}{1 - \epsilon} \right)^3 \left(\frac{1}{V} \frac{\partial \epsilon}{\partial t} \right)^2. \quad (24)$$

根据图 7 和 9 中列出的数字, R/K 可以大到 75%, 最小也有 10%, 这说明横向惯性并非可以忽略不计的。

我们认为, 横向惯性的存在是状态方程中应力提高项 $\sigma - f(\epsilon)$ 出现的原因或原因之一。式(24)表明, 横向惯性与截面积大小即几何尺寸有关。因此, 对同一 V_0 而言, 直径不同的杆, 它们的端面应力的提高程度亦应有所不同。在杆无限变细的极限情况下, 应有 $\sigma - f(\epsilon) \rightarrow 0$, 因而状态方程是与应变率无关的。随着杆截面的加粗, 应力提高项的数值就会增大, 最后趋向一极限值。

我们曾把 Bell^[22] 的实验结果代入方程(24), 发现距端面 $3D/32$ (D 为直径) 处(图 17)的 R/K 也可大到 60%, 此时撞击速度 V_0 只有 20.3 米/秒, 这也说明了图 7 和 9 给出的 R/K 的数据并不是不合理的。

六、2S 铝杆对撞情况下的塑性变形分析

我们再选用 2S 退火铝杆(以后简称为铝杆)作为分析对象。铝杆受撞后会出现等应变区, 应变率相关理论不能解释这种现象。我们希望能弥补这一缺陷。Bell^[8,10-12] 近年来曾用光栅、光电实验技术对铝杆作了一系列精细的实验, 我们将利用这些实验结果来和我们的计算结果作一比较。

Bell 研究了两根相同长度 $L_0 = 25.4$ 厘米和相同直径 $D = 2.54$ 厘米的铝杆以相同速度 $V_0 = 20.3$ 米/秒对撞的实验, 测量了 $x-t$ 平面上各处的 $\epsilon-t$ 曲线、 $u-t$ 曲线(u 为位移)以及端面的 $\sigma-t$ 曲线, 得出以下主要结果:

1. 撞击端的 ϵ 值并不是一下子就跃到最大值而是有一段动力松弛过程的。 $\epsilon-t$ 曲线的形状^[22]与撞击速度 V_0 有关(图 17)。

2. 应变最大值并不在端面处而是在距端面 $D/4$ 处出现(与 V_0 值有关), 然后随距离的增加而衰减, 直到在距离端面 $2D$ 处出现等应变区为止(图 18, 22)。

3. 在平均了 50 根试件的数据结果后, 发现在距离端面 $D/2 - 7D/2$ 的区间内, 塑性波传播具有简单波的性质, 波速和 $\sqrt{\frac{1}{\rho} \frac{\partial f(\epsilon)}{\partial \epsilon}}$ 值大体一致^[22], 而在小于 $D/2$ 的区间内则不是这样。

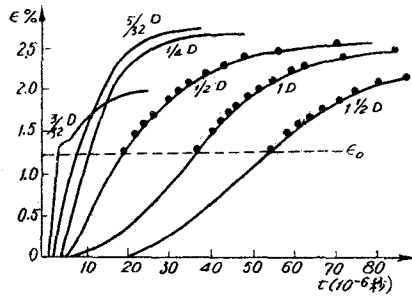


图 17 距端面 $3D/2$ 内的 $\epsilon-t$ 实验曲线
(●为本文理论计算值, $V_0 = 20.3$ 米/秒)

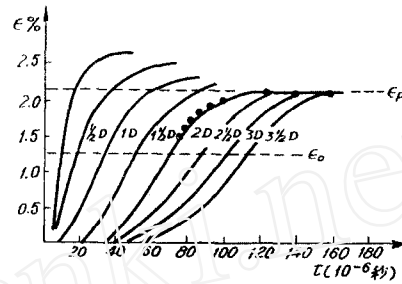


图 18 距端面 $7D/2$ 内的 $\epsilon-t$ 实验曲线
(●为本文理论计算值, $V_0 = 20.3$ 米/秒)

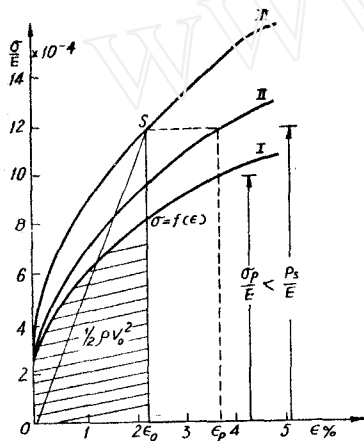


图 19 动应力应变曲线 II^[13] 的计算

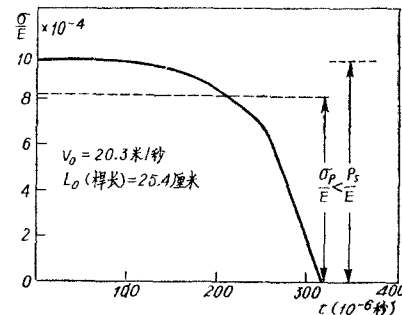


图 20 端面的 $\sigma-t$ 曲线

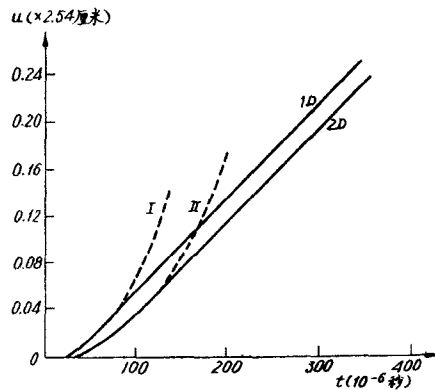


图 21 距端面 $1D, 2D$ 处的 $u-t$ 曲线(实线部分)
抛物线 I, II 按 1:1 线度画成

图中 I: $y + \frac{1}{8} = \frac{1}{18}(x - \frac{3}{2})^2$ II: $y + \frac{1}{8} = \frac{1}{32}(x - 3)^2$

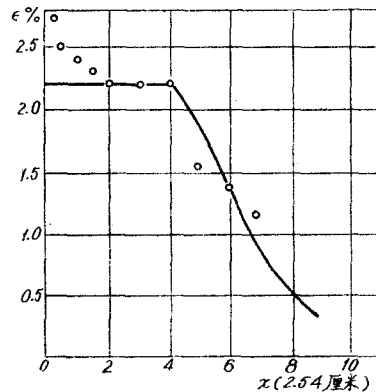


图 22 实验的应变分布
($V_0 = 20.3$ 米/秒)

4. 利用压杆测量端面应力(图 20), 发现端面应力一下子跃到 p_s 值后维持不变^[8], 在卸载波到达端面后才开始下降至零。为了考察卸载波还未到达端面时端面应力是否能维持不变, Bell 利用长压杆技术对一根 50.8 厘米长的铝杆进行测量, 发现端面应力 p_s 在一

段时间内维持不变后在卸载波还未到达端面时也会自行下降并衰减到 σ_p 值, σ_p 对应于静态应力应变关系中 ϵ_p 的应力值, ϵ_p 由

$$V_0 = \int_0^{\epsilon_p} \sqrt{\frac{1}{\rho} \frac{\partial f(\epsilon)}{\partial \epsilon}} d\epsilon \quad (25)$$

定义, $p_s > \sigma_p$, 这就是 Johnson 等^[2]发现的应力提高现象。

5. 图 21 为用光电技术^[8]在 $x = 1D$ 和 $2D$ 处测得的 $x-t$ 曲线, 它们的起始部分和抛物线(图 21 中的虚线)相重合, 这表明该处质点速度是等加速的(即 $\frac{\partial V}{\partial t} = \text{常数}$)。过了该处后加速度下降至零, 质点速度保持不变。

Bell^[12]指出, 由 Johnson 等^[2]测出的铝杆的应力应变动态曲线可从应力应变的静态曲线中算出, 即对应于每一个 V_0 值, 恒可找出一个 ϵ_0 值, 使它满足

$$\frac{1}{2} \rho V_0^2 = \int_0^{\epsilon_0} f(\epsilon) d\epsilon. \quad (26)$$

定出 ϵ_0 后, 再令

$$\frac{1}{2} \rho V_0^2 = \frac{1}{2} p_s \epsilon_0, \quad (27)$$

于是由式(25)–(27)即可算出一系列 ϵ_p 与 p_s 值, 作 p_s – ϵ_p 曲线, 可看出它和 Johnson 等测出的应力应变动态曲线完全一致, 我们重复了这个计算, 证实确实(图 19)。

两根等长度、等半径、等速度铝杆对撞而从自由端反射回来的卸载波还没有到达某处时, 杆在该处的变形规律显然和半无限杆对撞时的变形规律相同。

图 23 中的虚线为铝杆的静态应力应变曲线, 当应变不大时, 可用一抛物线(图 23 中的实线)来近似代替它。取 $f(\epsilon) = \beta \epsilon^{\frac{1}{2}}$, 其中 $\beta/E = 5.6 \times 10^{-3}$, 则在撞击速度 $V_0 = 20.3$ 米/秒时, 由图 23 和式(25)–(27)可算出

$$\epsilon_p = 2.2\%, \quad \epsilon_0 = 1.26\%$$

$$p_s/E = 1.00 \times 10^{-3}, \quad c_{\epsilon_0}/c_0 = \sqrt{\frac{1}{E} \frac{\partial f}{\partial \epsilon} \Big|_{\epsilon=\epsilon_0}} = \frac{1}{6.25}.$$

从图 19 中 p_s 的计算值和图 20 中 p_s 的实验值一致这件事

实看来, 可认为在 $x-t$ 平面上原点处的应力和应变值是 $\sigma = p_s$, $\epsilon = \epsilon_0$ 。由于 $\sigma \rightarrow f(\epsilon)$, 根据第三节所述, 应变会继续增加而发生材料动力松弛现象, 直到 $\sigma \rightarrow f(\epsilon)$ 为止。

由于 $p_s \approx \rho c_0 V_0$, 所以 Malvern 理论中的假定 1) 对铝杆不适用。根据 $x = c_0 t$ 上的激波条件, 应力必在 $x = c_0 t$ 上的某处有一跳跃, 而根据问题的物理性质, 应力跳跃必在原点发生。但是我们仍然可根据第三节的方法列出边界条件:

在 $x = 0$ 处: $\sigma = \sigma(t)$ (由实验确定, 见图 20),

$$V = V_0;$$

在 $x = c_0 t$ 上: $\epsilon = \epsilon_0$ (假设在 $x = c_0 t$ 上应力处处连续, 这样就可以绕过在 $x = c_0 t$ 上的原点处应力不连续的困难)。

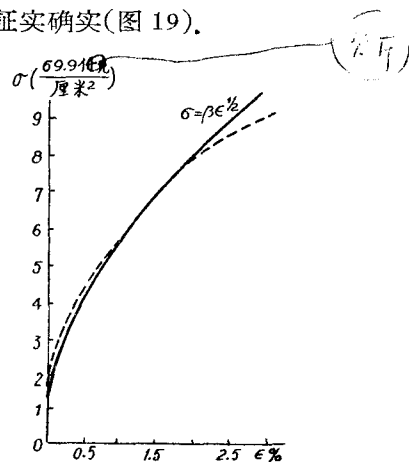


图 23 2S 退火铝杆的应力应变静态曲线

但是由 Bell 实验的主要结果 2 并参看图 17, 可以断言, 同第三节类似的计算方法在此处是毫无成功的希望的. 原因在于当 V_0 值约为每秒几十米时, 端面间的摩擦力对端面材料的变形起着不可忽视的阻滞作用^[12], 因而最大变形不是在端面处而是在其邻近处发生. 这样, 端面材料实际处于复杂加载的受力状态下, 因此不能期望用简单加载的状态方程(1)来算出端面处的正确的 $\epsilon-t$ 曲线.

摩擦力的作用与一可动的侧向约束等价. 它的作用无疑会很快随着远离端面而减小. 同时材料的受力状态也由复杂加载退化为简单加载. 因此, 状态方程(1)在距端面某一段距离以后仍可采用. 困难在于此时在理论上我们不知道各处的 $\sigma(t)$ 应采用何种形式, 各处的 $\epsilon-t$ 曲线因而仍无从得知.

然而从下面几件实验事实可以得到一定的启发:

1) 图 23 中的 $\sigma-t$ 曲线的抛物线部分表明, 在距端面至少是 $2D$ 以内各截面的应力梯度 $\frac{\partial \sigma}{\partial x}$ 在相应的时间内为一常数.

2) 在 0—120 微秒时间内端面应力变化甚小(图 24), 可看作是常数——出现应力平坦区. 如果不是卸载波使端面应力不断下降, 根据 Bell 的主要结果 4), 应力必衰减到 σ_p .

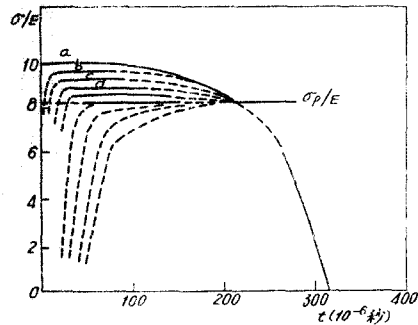


图 24 端面附近各处的 $\sigma-t$ 设想曲线

由上面两点可知, 在端面附近区域内必然保持应力出现应力平坦这种特点, 所不同的是应力值随着距离的增加而减小(如图 24 中的 b, c, d 等实线所示, 图 24 中的虚线则仍是我们的设想形状).

为了能够计算, 我们只假定, 在距端面某一段距离以内, 各处的应力在应变上升至 ϵ_0 时早已达到或至少正好达到各平坦区的应力值 σ_{\max} . 这个假定实质上是端面变形规律的外延. 只要外延距离足够小, 它总是正确的. 以后将根据计算结果

来讨论这个假定的合理性.

现在来求铝杆各处的 $\epsilon-t$ 曲线. 材料所满足的状态方程是:

$$\left. \begin{aligned} E \frac{\partial \epsilon}{\partial t} &= \frac{\partial \sigma}{\partial t} + g(\sigma, \epsilon), \\ g(\sigma, \epsilon) &= \alpha(1 - \epsilon)(\sigma - \beta \epsilon^{\frac{1}{2}}). \end{aligned} \right\} \quad (28)$$

在应力平坦区, $\frac{\partial \sigma}{\partial t} = 0$. 由于 $\epsilon \ll 1$, 故 $(1 - \epsilon)$ 可略去, 式(28)可积分成

$$\int_{\epsilon_0}^{\epsilon} \frac{d\epsilon}{\sigma_{\max} - \beta \epsilon^{\frac{1}{2}}} = \int_{t_0}^t \frac{\alpha}{E} dt. \quad (29)$$

将时间的零点选在 $\epsilon = \epsilon_0$ 的瞬时, 将式(29)积分, 可得

$$\frac{\alpha t}{E} = -\frac{2\sigma_{\max}}{\beta^2} \ln \left[1 - \frac{\beta(\sqrt{\epsilon} - \sqrt{\epsilon_0})}{\sigma_{\max} - \beta\sqrt{\epsilon_0}} \right] - \frac{2}{\beta} [\sqrt{\epsilon} - \sqrt{\epsilon_0}]. \quad (30)$$

式(30)表征了 $\epsilon > \epsilon_0$ 时具有应力平坦的 $\epsilon-t$ 曲线, 其中 σ_{\max} 以参数形式出现. 表 1 列出在选定

$$\sigma_{\max} = f(2.2\%), f(2.3\%), f(2.6\%), f(2.7\%)$$

时式(30)的四根 $\epsilon-t$ 曲线所对应的数据,发现在选 $\alpha = 3 \times 10^6$ [秒] $^{-1}$ 时,由表 1 中数据所画出的 $\epsilon-t$ 曲线和距端面 $2D, 3D/2, 1D, D/2$ 处的 $\epsilon-t$ 曲线完全重合(图 17 和 18).

表 1 式(30)的几列计算

	$\sigma_{\max} = f(2.2\%)$	$\sigma_{\max} = f(2.3\%)$	$\sigma_{\max} = f(2.6\%)$	$\sigma_{\max} = f(2.7\%)$
$\epsilon \%$	αt	αt	αt	αt
1.5	16.71	12.84	10.10	9.43
1.6	25.48	19.52	14.83	12.52
1.7	33.51	27.12	20.46	18.93
1.8	50.52	36.23	26.13	24.46
1.9	67.28	47.70	33.76	30.78
2.0	95.50	62.62	42.04	38.06
2.1	156.13	83.92	51.93	46.58
2.2	∞	120.18	65.52	56.69
2.3		∞	76.57	69.47
2.4			103.23	85.51
2.5			143.37	108.88
2.6			∞	148.55
2.7				∞

我们也计算了 σ_{\max} 值由 $f(2.8\%)$ — $f(3.3\%)$ 的六根 $\epsilon-t$ 曲线,其中没有一条和图 17 中剩下的三根曲线相符.原因在于最大应变实际上并不是在端面处而是约在 $D/4$ 处发生.这恰好说明端面附近的材料处于复杂加载状况下,当然无法用简单加载的状态方程来算出符合实验的结果.另一方面,这也说明端面间摩擦力对材料的变形所起的可动侧向约束作用随着距端面距离的增加而迅速减弱,在 $x = D/2$ 处,材料受力状态已退化为简单加载,因此,用简单加载的状态方程能算出符合实验的结果.

可以看出,在 $1D$ 处,计算曲线 $\epsilon-t$ 的时间零点落在 35 微秒处(图 17).一直算到 85 微秒, $\epsilon-t$ 曲线的计算值都和实验相符,而图 21 中的曲线 I 可能出现应力平坦的抛物线部分也差不多落在 20—80 微秒之间.图 21 中的曲线 II 中的抛物线部分落在约 30—120 微秒之间,而 $2D$ 处的 $\epsilon-t$ 计算曲线(图 18)的时间零点为 70 微秒,算到 120 微秒,这段时间间隔也正好落在 30—120 微秒之间.因此可以说,应变上升到 ϵ_0 时,应力早已或至少正好达到应力平坦这一假定在 $x \leq 2D$ 区域内是正确的.在 x 离 $2D$ 较远处,这个假定显然不成立.而由于不知道 $\sigma(t)$ 的具体形式,因此,还没有很好的方法来计算较远各处的 $\epsilon-t$ 曲线.

从表 1 可知,在 $x = 2D$ 处的应力平坦值正好等于 σ_p .根据问题的物理性质,材料

最大应力状态显然发生在受击端面处, 对应于不同 x 处的最大应力也显然不会随着 x 的增加而增加, 因此有

$$\sigma_{\max}|_{x_n} \leq \sigma_{\max}|_{x_{n-1}} \leq \dots \leq \sigma_{\max}|_{x_1} \leq \sigma_{\max}|_{x=2D} = \sigma_p \quad (x_n > x_{n-1} > \dots > x_1 > 2D). \quad (31)$$

考虑半无限杆的情况, 由于 Bell^[1]证实了塑性波在铅杆中是以色散规律 $c(\epsilon) = \sqrt{\frac{1}{\rho} \frac{\partial j(\epsilon)}{\partial \epsilon}}$

向前传播的, 再加上铅杆的静态应力应变曲线向下凹这一性质, 在距端面很远处必有 $\frac{\partial \epsilon''}{\partial t} \rightarrow 0$. 由式(2)和(4)知状态方程退化为 $\sigma = j(\epsilon)$, 因此, 根据 von Kármán 理论,

距端面很远处的最大应力值也为 σ_p . 因此有

$$\sigma_{\max}|_{x \gg 2D} = \sigma_p. \quad (32)$$

这样, 由式(31), (32)得出

$$\sigma_{\max}|_{x \gg 2D} = \sigma_p. \quad (33)$$

因此, 不论 $\sigma(t)|_{x \gg 2D}$ 采取什么形式, 由状态方程(28)可见, 当 $\frac{\partial \epsilon''}{\partial t}$, 即 $g(\sigma, \epsilon) \rightarrow 0$ 时,

必有

$$\epsilon \rightarrow \left(\frac{\sigma_p}{\beta}\right)^2 = \epsilon_p. \quad (34)$$

这就解释了在 $x \geq 2D$ 处出现等应变区的问题(图 22), 并再次说明了塑性波具有简单波的性质并不只是 von Kármán 理论才能得到的结果.

七、讨 论

式(7)只描写材料在高速变形时的情况, 因此对距受击端面很远处的材料而言, 函数 $g(\sigma, \epsilon)$ 就不能用式(7)来描写. 同理, 在低速撞击时, 端面附近材料的变形速度亦不算高, 因此, 式(7)这时也不一定适用.

横向惯性一开始就对变形起限制作用, 因而应力提高. 但横向惯性能一旦获得, 它反过来又助长了变形的发展.

在撞击速度不够大时, 相对于正应力而言端面摩擦力不可忽略, 因此极邻近端面处的材料处于复杂加载状况下. 这就是铅杆对撞时最大应变不是在端面处而是在距端面 $D/4$ 处发生的原因. 在撞击速度大到每秒上百米时, 相对于巨大的正应力而言, 端面摩擦力看来是可以忽略的. 这样, 就有可能仍用简单加载的状态方程来算出正确的变形过程.

本文所给的边界条件, 原则上是由实验定出的, 因此, 我们并没有对一般工程材料的高速变形过程给出一个普适的计算方法, 只是对高速变形的物理机制进行了一些探讨, 用状态方程应分区考虑的观点来试图解释一些实验事实.

在本文写作过程中曾与解伯民同志进行过有益的讨论, 郭永怀和王仁同志曾审阅本文初稿并提出了宝贵意见, 在此一并致谢.

参 考 文 献

- [1] von Kármán, Th., On the propagation of plastic deformation in solids, *Jour. Appl. Phys.*, **21**, 1950, 987.
- [2] Johnson, J. E., Wood, D. S., Clark, D. S., Dynamic stress-strain relation for 2S aluminum under compression impact, *Jour. Appl. Mech.*, **20**, 4, 1953, 523—529.
- [3] Malvern, L. E., Plastic wave propagation in a bar of material exhibiting a strain-rate effect, *Quart. Appl. Math.*, **8**, 4, 1951, 405—411.
- [4] Malvern, L. E., Plastic wave propagation in a bar of material exhibiting a strain-rate effect, *Jour. Appl. Mech.*, **18**, 1951, 203—208.
- [5] Tapley, B. D. and Plass, H. J., The propagation of plastic wave in a semi-infinite cylinder of a strain-rate-dependent material, *Proceeding of seventh midwestern mechanics conference*, 1961, Development in mechanics, I, 256—267. Edited by Lay, L. E. and Malvern, L. E.
- [6] Френкель, Я. И., Контрова, Т. А., К теории пластической деформации и двойникования, *ЖЭТФ*, **8**, 1938, 59, 1340, 1349.
- [7] Gilman, J. J., Johnston, W. G., Dislocation velocities, dislocation densities and plastic flow in lithium fluoride crystals, *Jour. Appl. Phys.*, **30**, 1959, 129.
- [8] Bell, James F., Further experiment study of unloading phenomenon in constant velocity impacts, *Jour. Mech. Phys. Solids*, **9**, 4, 1961, 261—278.
- [9] Lee, E. H., Tupper, S. J., Analysis of plastic deformation in a steel cylinder striking a rigid target, *Jour. Appl. Mech.*, **21**, 1954, 63.
- [10] Bell, James F., An experimental study of unloading phenomenon in constant velocity impacts, *Jour. Mech. Phys. Solids*, **9**, 1, 1961, 1—15.
- [11] Bell, James F., Propagation of Large amplitude waves in annealed aluminum, *Jour. Appl. Phys.*, **31**, 2, 1960, 277—282.
- [12] Bell, James F., Study of initial condition in constant velocity impact, *Jour. Appl. Phys.*, **31**, 12, 1960, 2188—2195.

THE NATURE OF DYNAMIC RELAXATION OF MATERIAL UNDER HIGH SPEED DEFORMATION AND THE PLASTIC WAVE IN ONE DIMENSIONAL BAR

FAN LIANG-ZHAO

(Institute of Mechanics, Academia Sinica)

ABSTRACT

1. Whether a single state equation can be formulated for the whole process of high speed deformation in solid is questioned, and it is considered that the state equation

$$E \frac{\partial \sigma}{\partial t} = \frac{\partial \sigma}{\partial t} + g(\sigma, \epsilon)$$

is suited only to a part of the $x-t$ Lagrange plane.

2. The relaxation function is discussed and is suggested to take the following form:

$$g(\sigma, \epsilon) = A\{1 - \exp[-B(1 - \epsilon)(\sigma - f(\epsilon))]\},$$

3. The term $\sigma - f(\epsilon)$ in the state equation is attributed wholly or partially to the

effect of radial inertia.

4. An explanation of the phenomenon of the existence of uniform strain region in constant-velocity impact is proposed by use of strain-rate-dependent theory.

5. When the impact velocity lies in the range of several decametres per second, the role of friction between impact surfaces is important for the formation of the plastic wave and its propagation. But very likely, it can again be neglected, when the impact velocity reaches beyond one hundred metres per second.

www.cnki.net